

整理番号=P-34146

提出日 平成12年 9月29日
頁: 1/ 3

【書類名】

図面

Fig. 1A

【図中】

Tracing direction

(a)

Fig. 1B

Pitch of V grooves

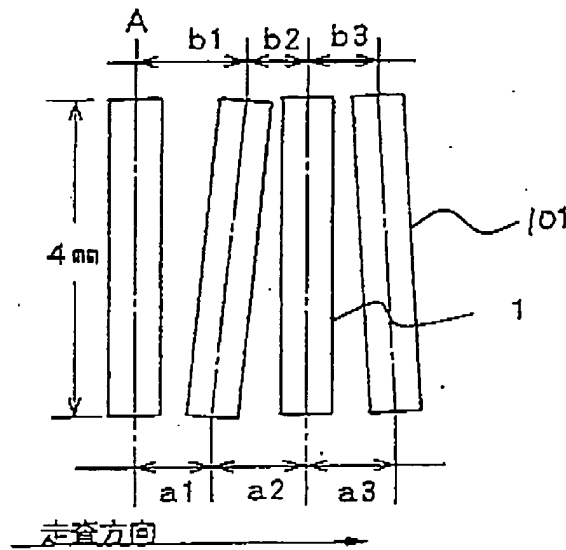


Fig. 1A

(b)

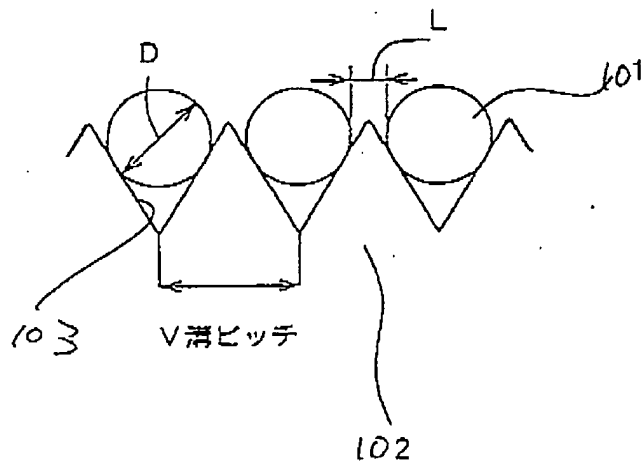


Fig. 1B

T08260-5E249660

提出日 平成12年 9月29日

整理番号=P-34146

頁: 2/ 3

【図2】

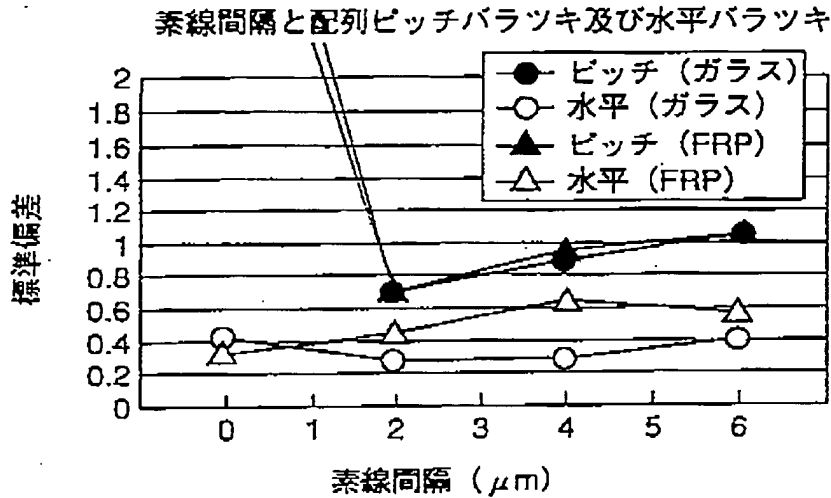


Fig. 2

【図3】

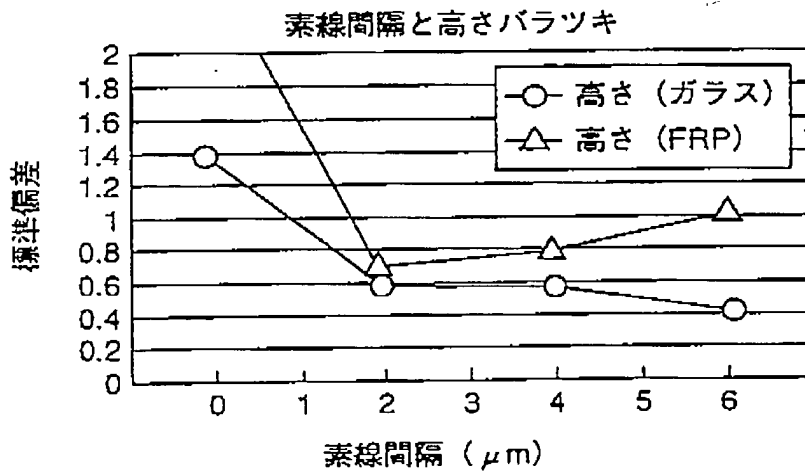


Fig. 3

T03260"SE249660

Fig. 2

Relationship between the spacing of lens preformers and each
of the variation in alignment pitch and the horizontal
variation

Standard deviation Alignment pitch (glass)

Horizontal (glass)

Alignment pitch (FRP)

Horizontal (FRP)

Spacing of lens preformers (μm)

Fig. 3

Relationship between the spacing of lens preformers and the
height variation

Standard deviation Height (glass)

Height (FRP)

Spacing of lens preformers (μm)

008260-5249660

提出日 平成12年 9月29日

整理番号=P-34146

頁: 3/ 3

[図4]

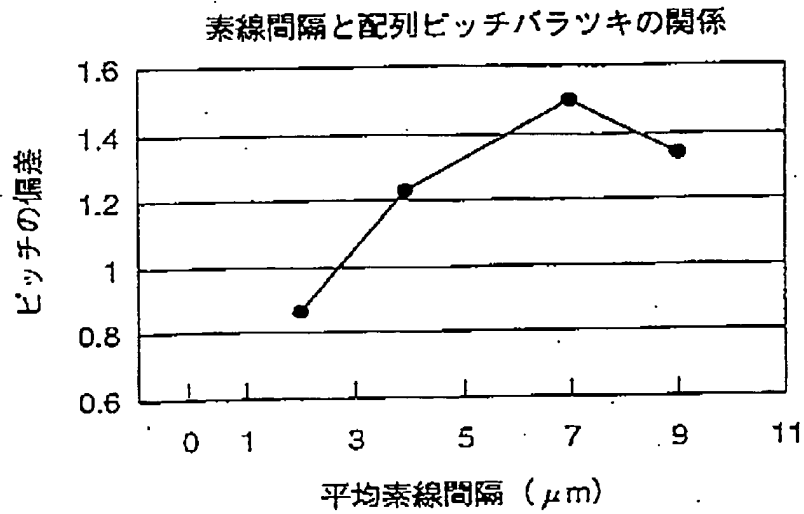


Fig. 4

Fig. 4

Relationship between the spacing of lens preformers and the
variation in alignment pitch

Deviation

Spacing of lens preformers (μm)

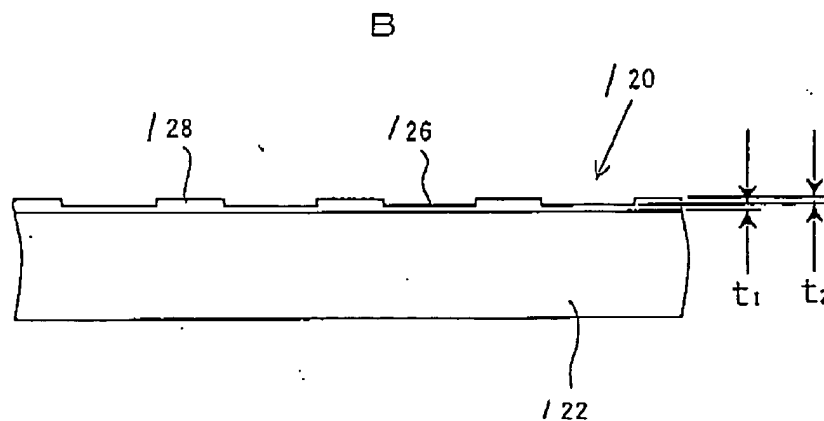
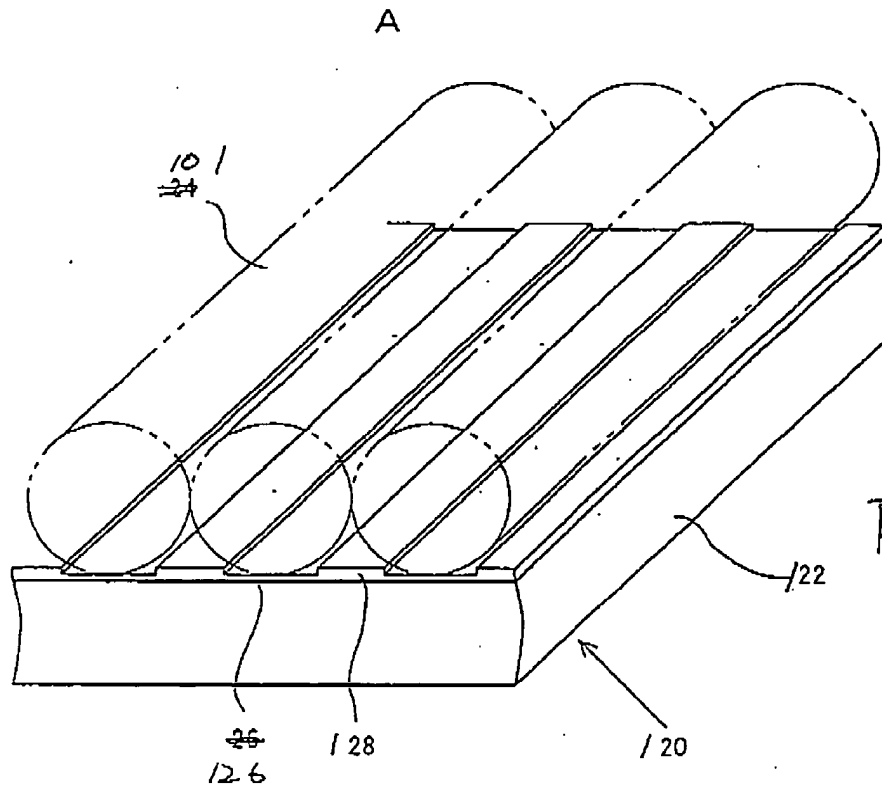
T08260-52249660

整理番号=PX0059

提出日 平成12年11月10日
特願2000-343212 頁: 1/ 5

【書類名】 図面

【図名】



整理番号=PX0059

提出日 平成12年11月10日
特願2000-343212 頁: 2/ 5

[図2]

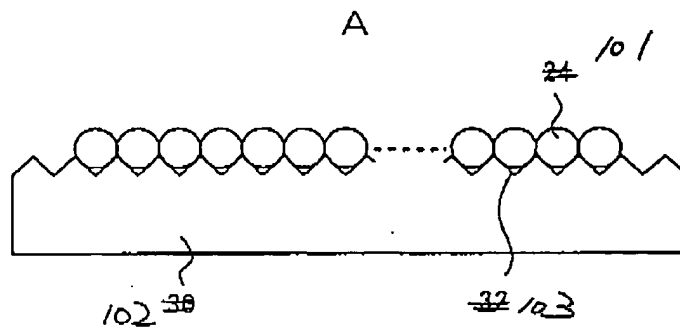


Fig. 6A

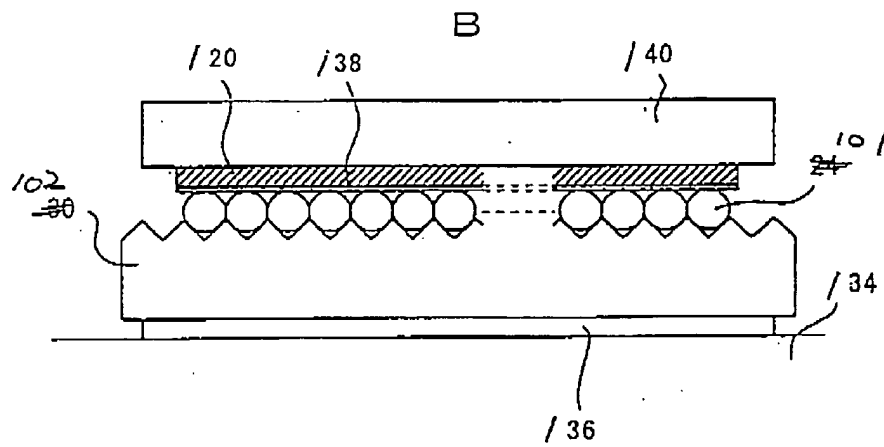


Fig. 6B

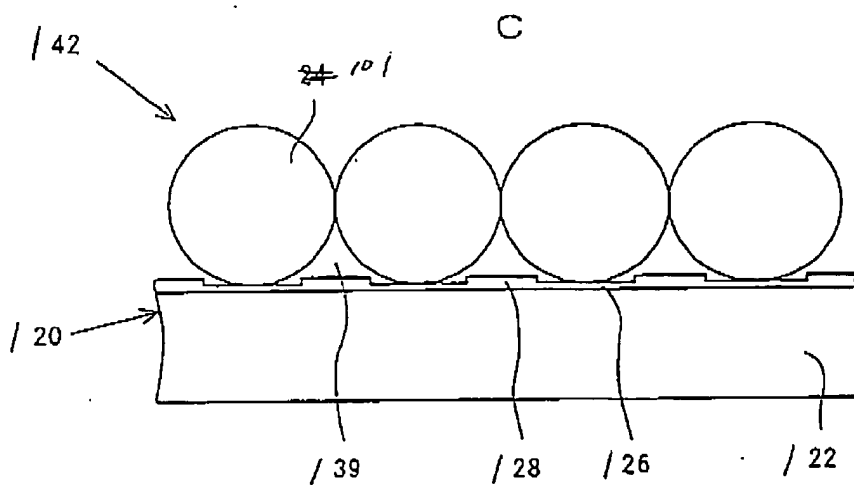


Fig. 6C

整理番号=PX0059

提出日 平成12年11月10日
特願2000-343212 頁: 3/ 5

【図3】

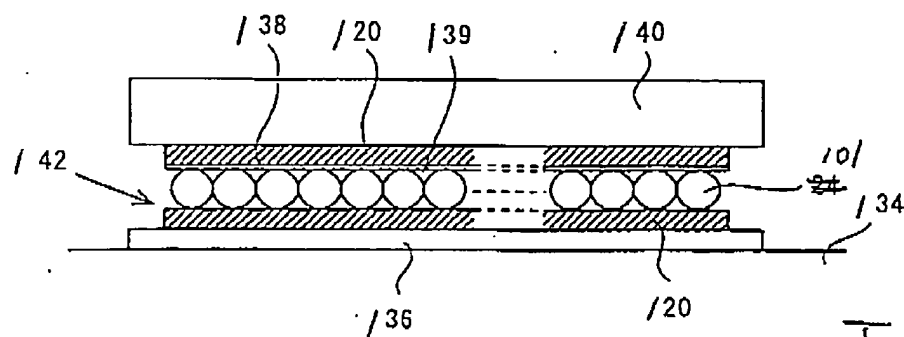


Fig. 7

【図4】

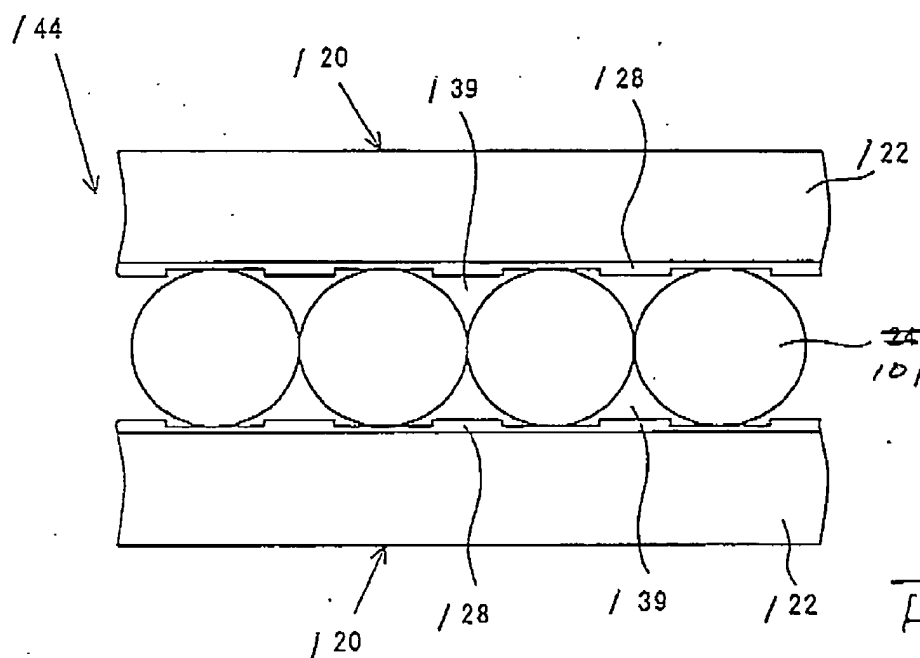


Fig. 8

整理番号=PX0059

提出日 平成12年11月10日
特願2000-343212

頁: 4/ 5

【図5】

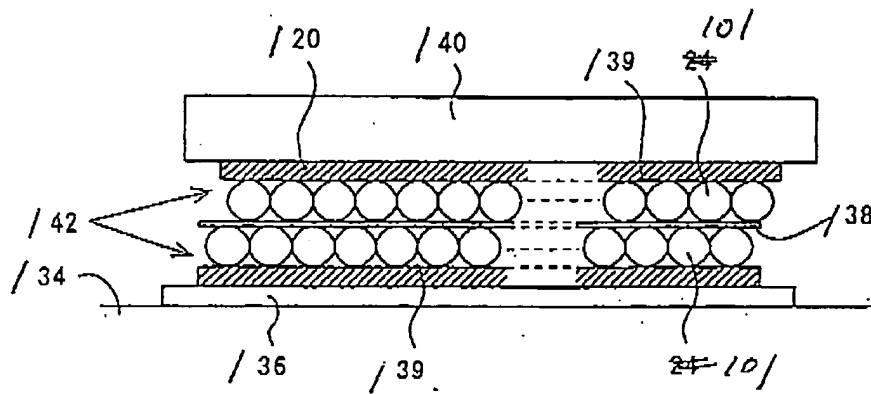


Fig. 9

【図6】

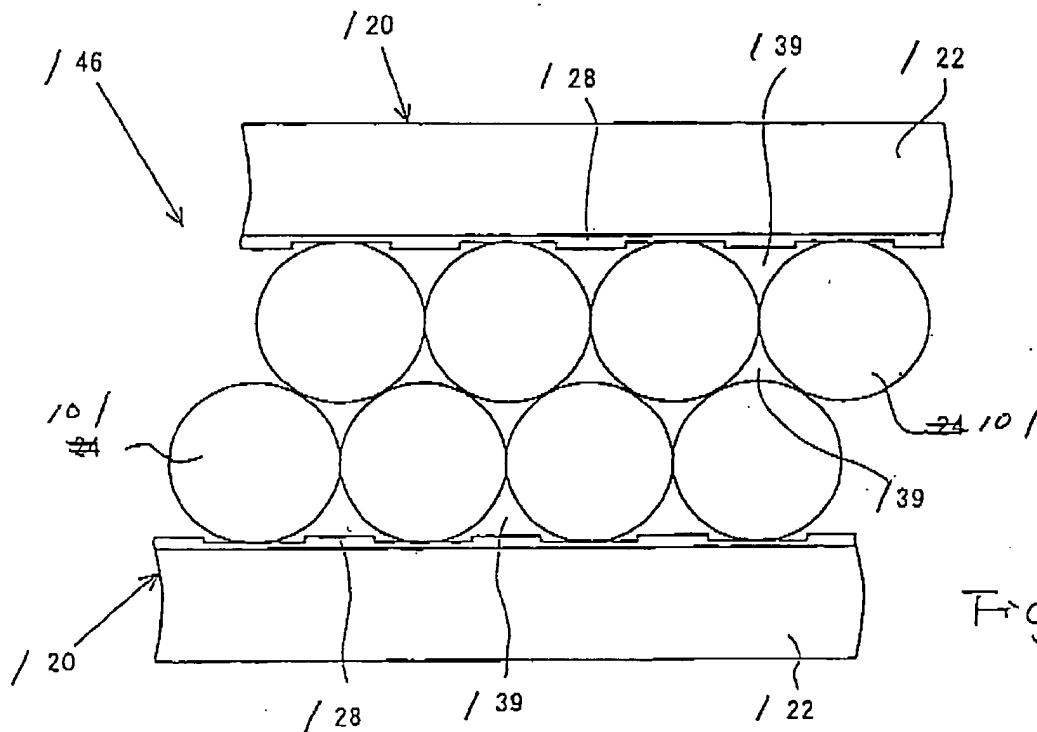


Fig. 10

整理番号=PX0059

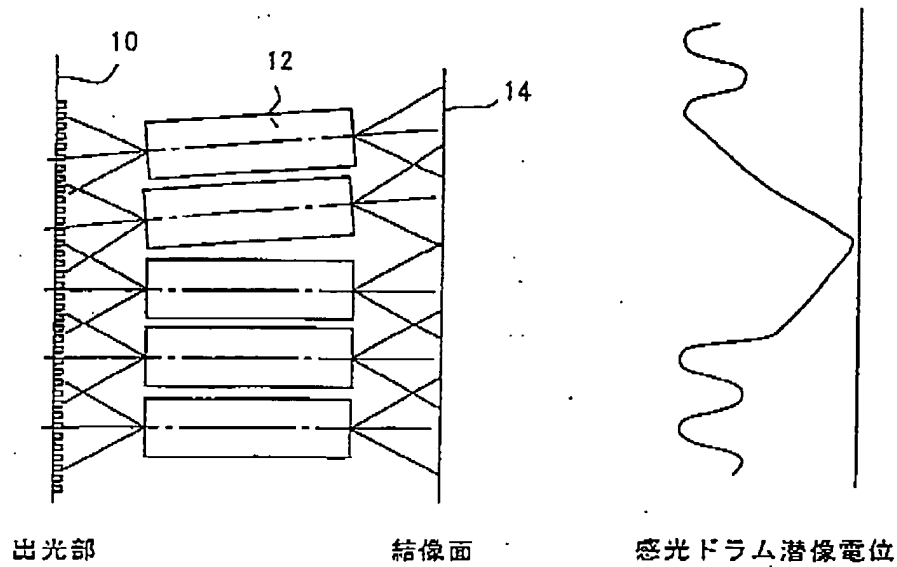
提出日 平成12年11月10日
特願2000-343212 頁: 5/ 5~~図11~~

Fig. 11

Fig. 11

Light-emitting portion

Imaging surface

Potential for latent image formation on photoreceptor drum

提出日 平成13年 2月16日

整理番号=PY20002506

頁: 1/ 5

【書類名】

図面

図1

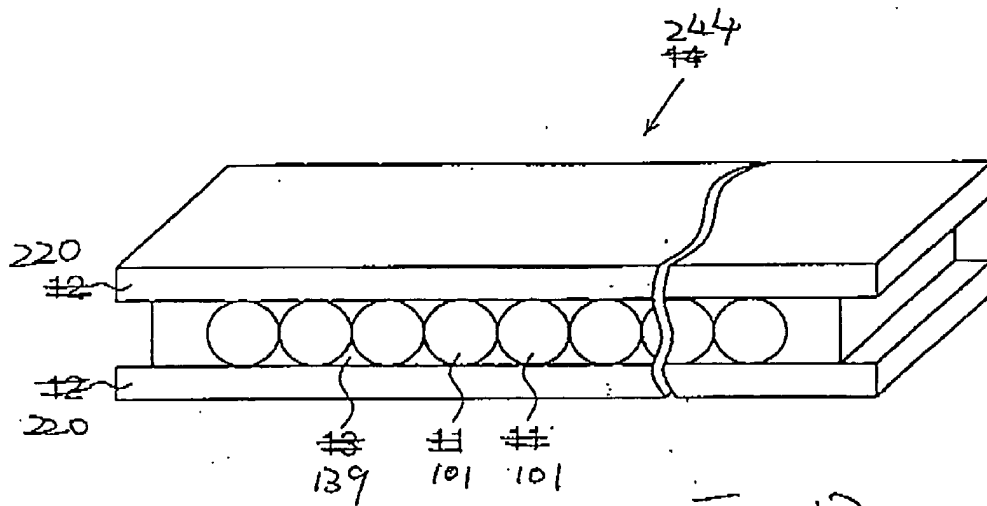


図2

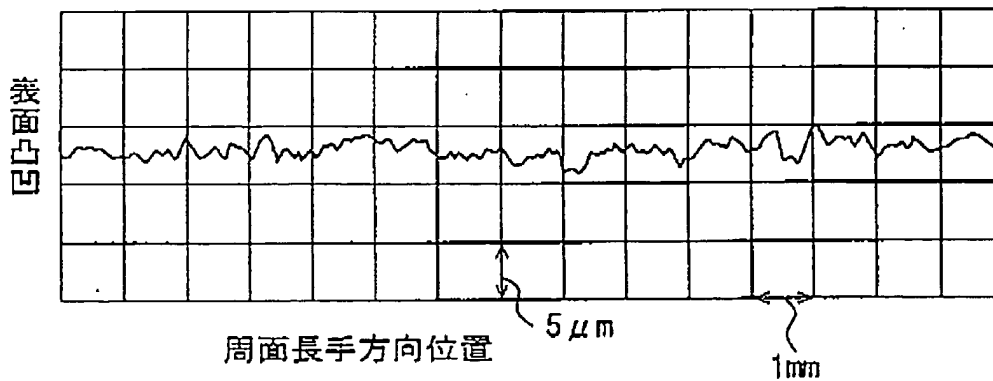


Fig. 13

Surface asperities

Fig. 13

Position on peripheral lens surface in longitudinal direction

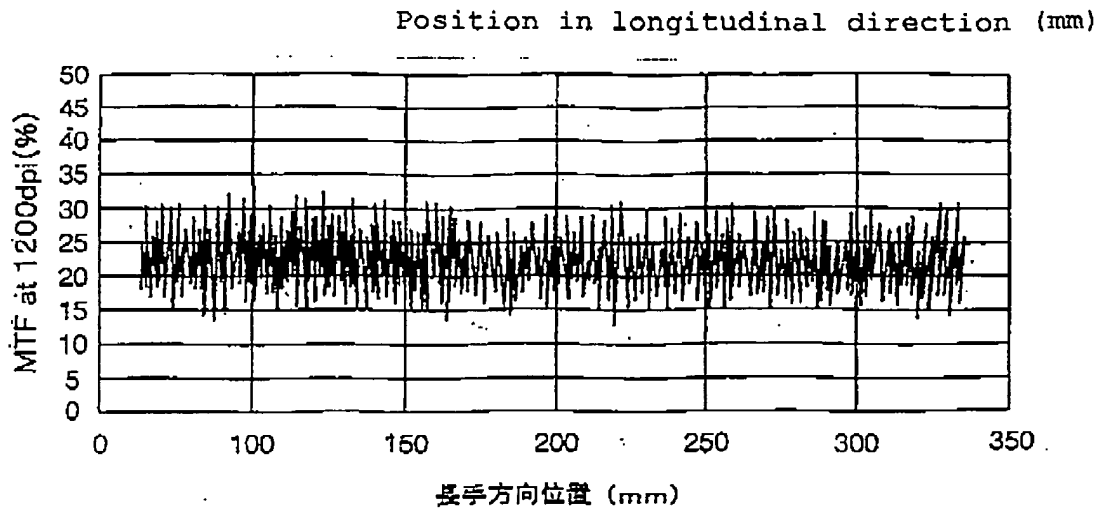
整理番号=P Y

提出日 平成13年 2月16日

5

[図3]

Fig. 14



Fre. 14

[図4]

Fig. 15

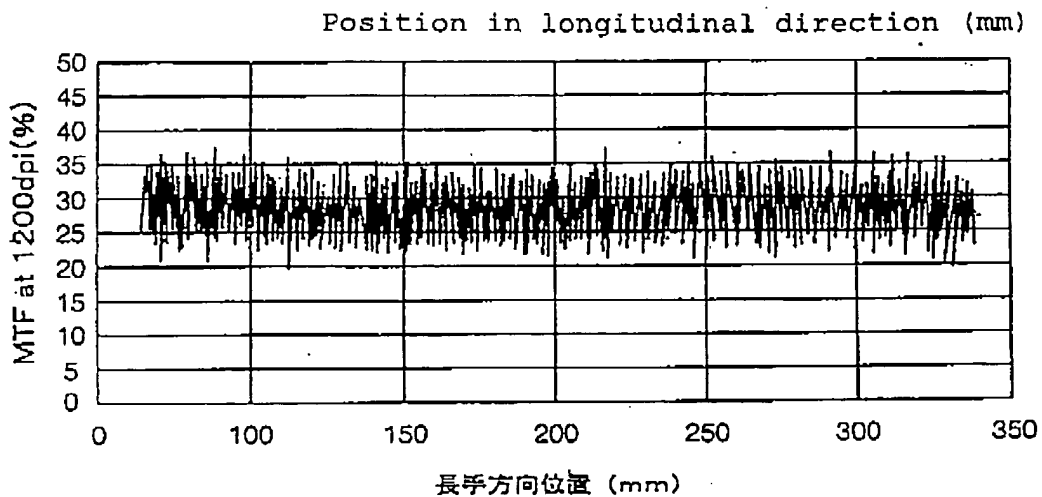


Fig. 15

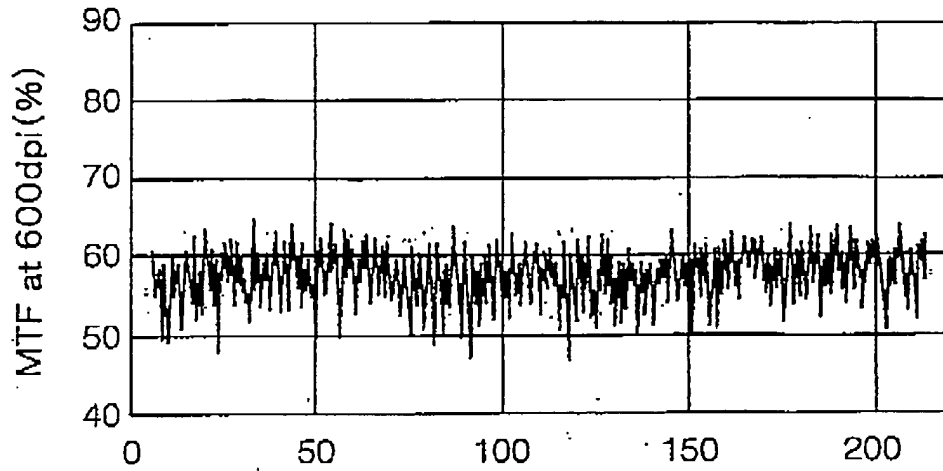
T03260 SE 249660

提出日 平成13年 2月16日

整理番号=PY20002506

頁: 3/ 5

【図5】



長手方向位置 (mm)

Position in longitudinal direction (mm)

Fig. 16

【図6】

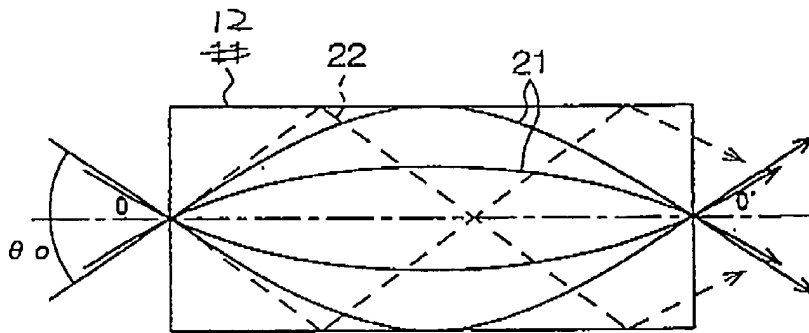


Fig. 17

T08260"SE249660

提出日 平成13年 2月16日

整理番号=PY20002506

頁: 4/ 5

【図7】

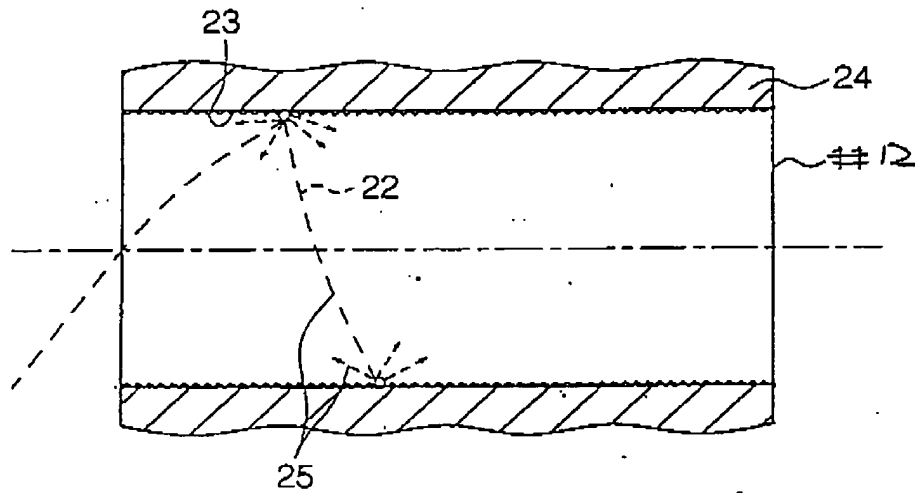


Fig. 18

【図8】

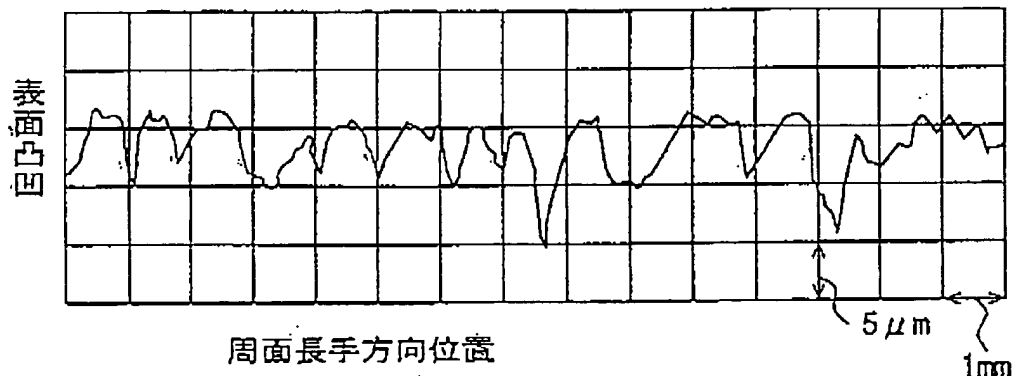


Fig. 19

Surface asperities

Position on peripheral lens surface in longitudinal direction

T08260-SE49660

整理番号=PY20002506

提出日 平成13年 2月16日

頁: 5/ 5

[図9]

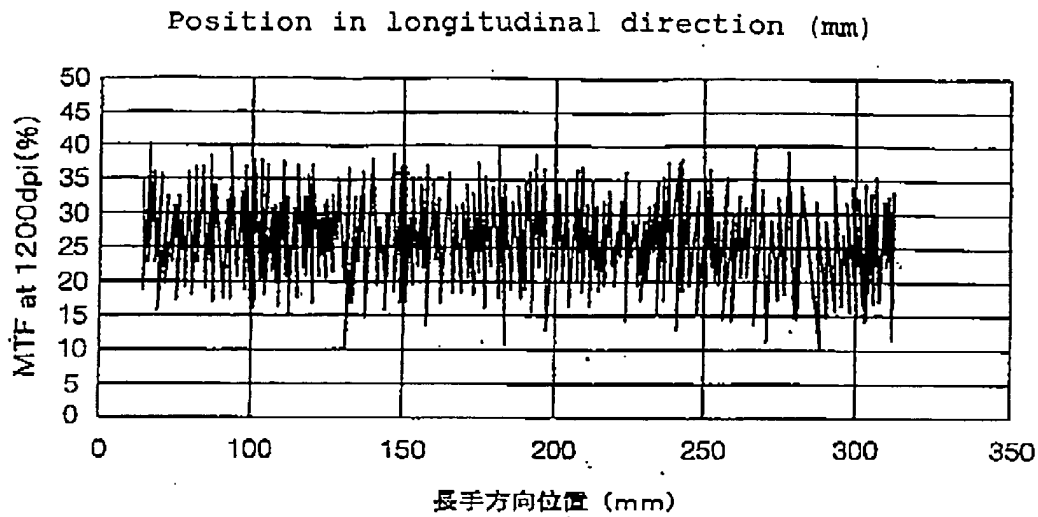


Fig 20

[図10]

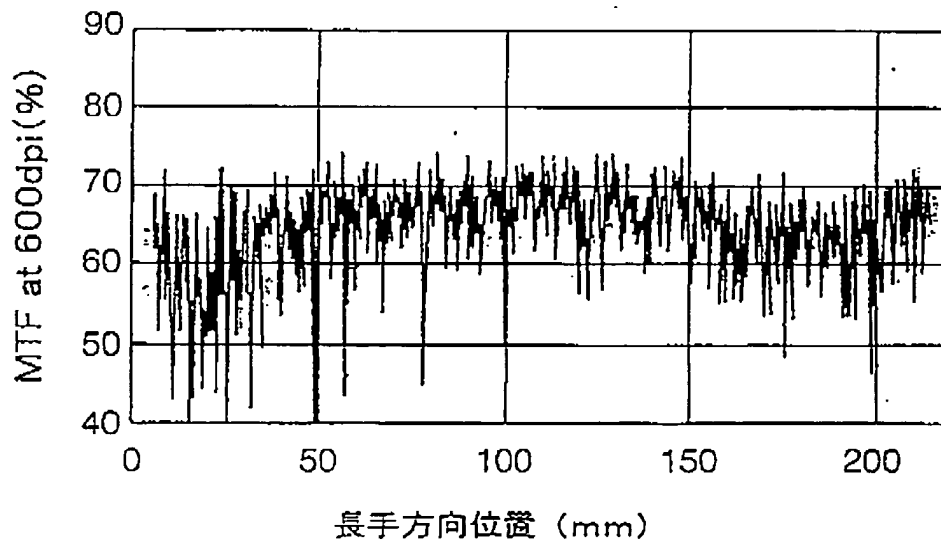


Fig 21

Position in longitudinal direction (mm)

T08260-3E249660

FOB260" SE 249660

中心線平均粗さ(Ra)の定義

$$Ra = 1/L \times \int_0^L |f(x)| dx$$

 ただし、
 中心線をX軸にとり、
 粗さ曲線を f(x) とする。
 ここで中心線は

$$\int_0^L f(x) dx = 0$$

 の条件より決定する。

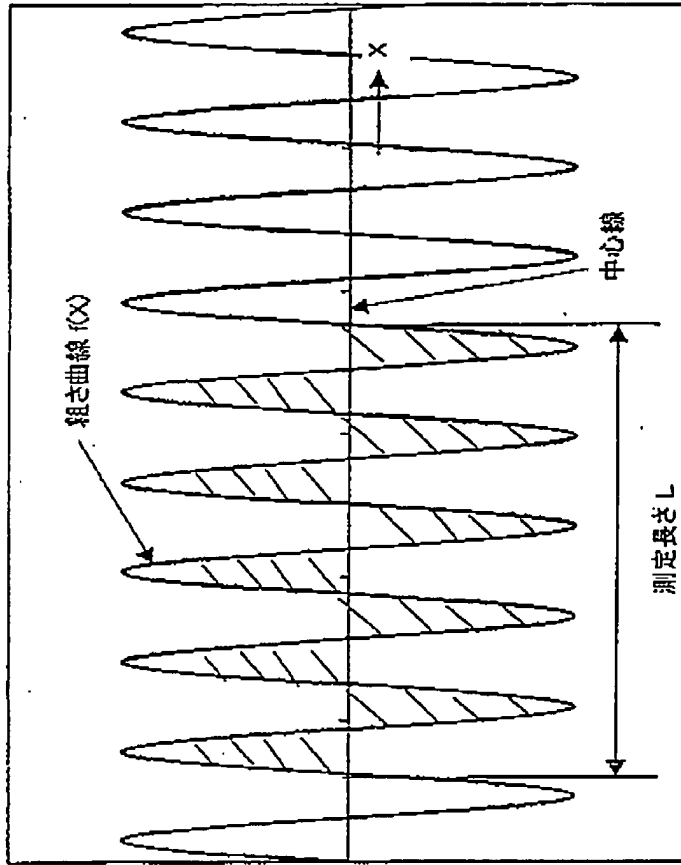


Fig. 22

Fig. 22

Center-line-average roughness (Ra) defined as:

$$Ra = 1/L \times \int_0^L |f(x)| dx$$

provided that the center line is taken on the X-axis and

determined from $\int_0^L f(x) dx = 0$, where $f(x)$ is the roughness curve.

Roughness curve $f(x)$

Sampling length L

Center line

0996475
T08260" SE 249660